

Università di Roma Tre – A.A. 2005/06

Complementi di Controlli Automatici

Controllo del Robot Pendubot

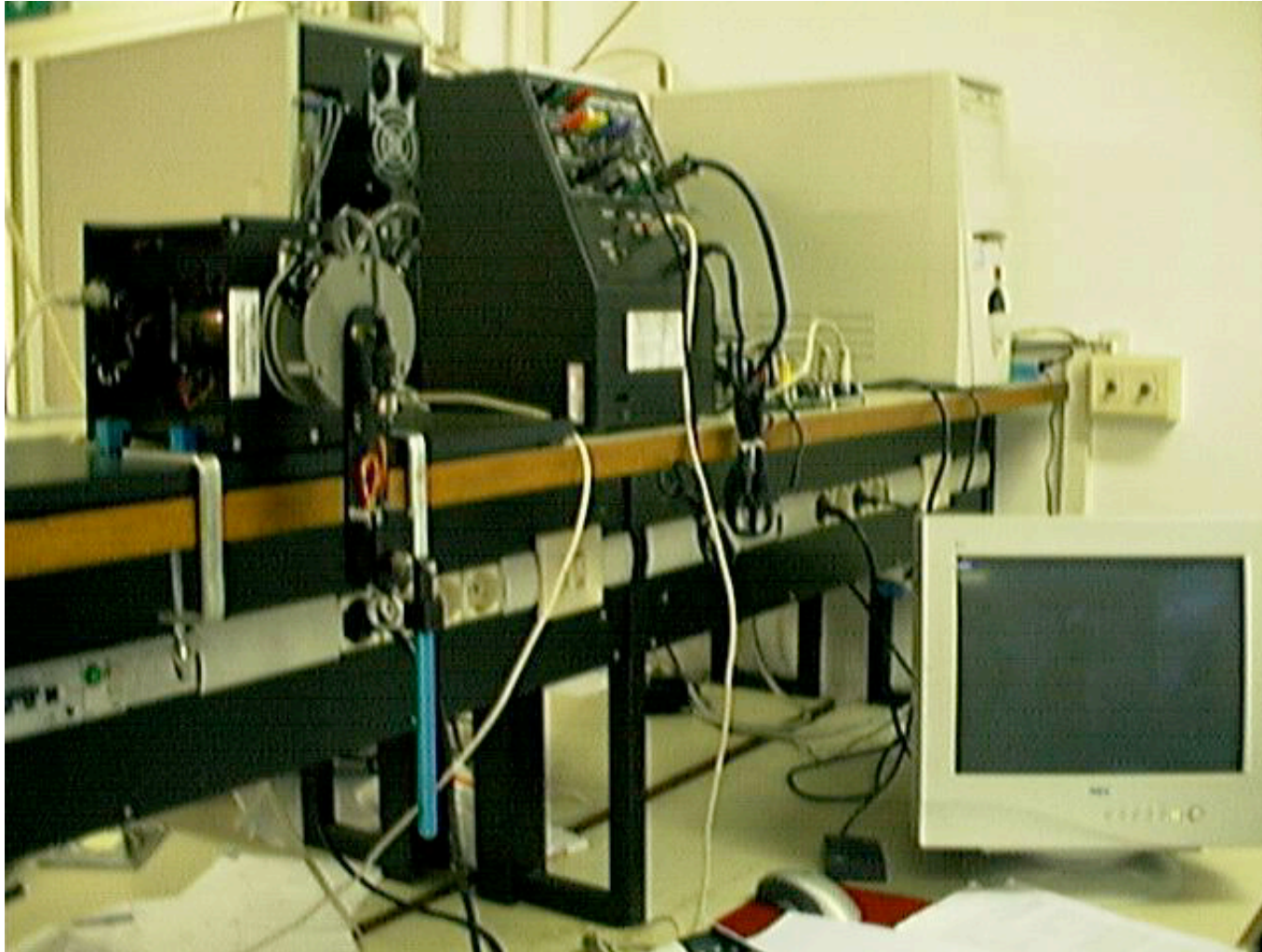
Marilena Vendittelli

DIS, Università di Roma “La Sapienza”

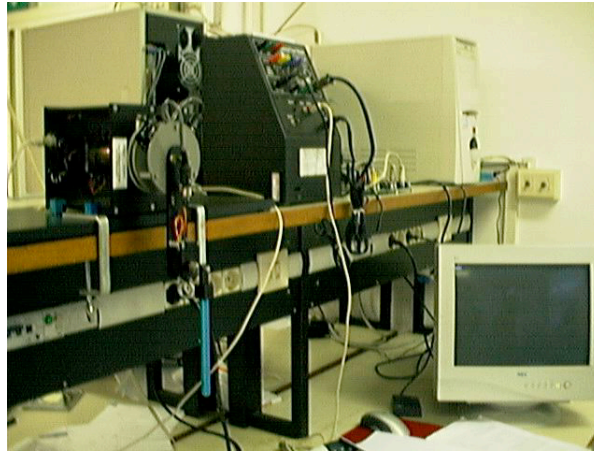
Sommario

- Il sistema Quanser Pendubot
- Obiettivi del controllo
- Modellistica dinamica
- Linearizzazione e analisi
- Progetto del controllore

Il sistema Quanser Pendubot

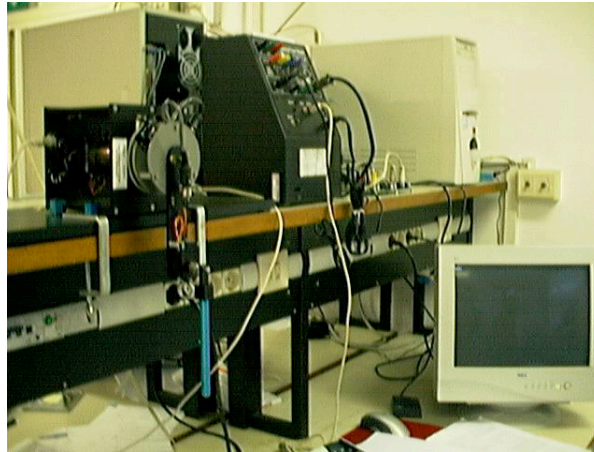


Componenti del sistema - 1



- robot: a 2 gradi di libertà rotanti **sottoattuato** (un solo motore sul primo giunto) in moto nel piano xy verticale (asse x verticale in basso)
- sensori: due encoder ottici incrementali ai giunti (risoluzioni 1/8192 e 1/4096 su angolo giro)
- attuatore: motore in c.c. a magneti permanenti pilotato in corrente da uno stadio di potenza (UPM) con onda quadra modulata in ampiezza (PWM a 40 KHz) come segnale applicato al motore

Componenti del sistema - 2



- interfaccia: scheda acquisizione dati e conversione A/D e D/A (MultiQ-PCI) con filtri passa-basso + scheda con connettori per canali ingresso-uscita
- PC: Pentium III con MS Windows NT
- software: Matlab/Simulink (progetto/simulazione/realizzazione del sistema di controllo), Real-Time Workshop (generatore automatico di codice C++ da modelli Simulink), Quanser WinCon (ambiente Simulink esteso per operazioni in tempo reale [download file .wcl, lettura encoder, timer setup, ...] basato su architettura client-server)

Obiettivi del controllo

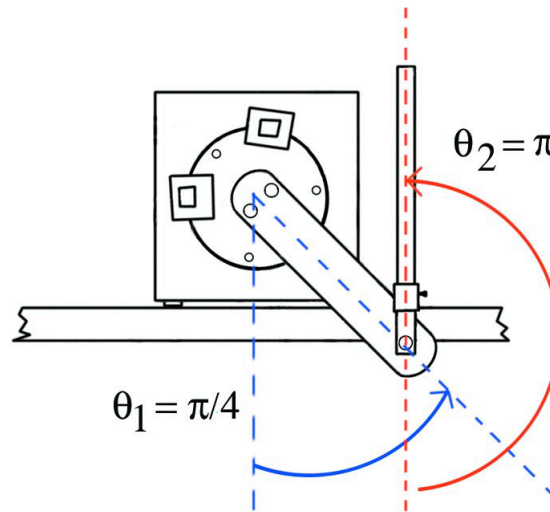
- Regolazione di posizione
 - configurazioni di equilibrio libero o forzato
 - interesse per quelle instabili ad anello aperto
 - manovre globali di swing-up
 - stabilizzazione locale tramite feedback lineare dallo stato
- Inseguimento di traiettorie
 - dinamicamente ammissibili

Modello dinamico

- sistema **elettro-meccanico** a più gradi di libertà
- equazioni di bilanciamento **elettrico** del motore
 - motore c.c. comandato in corrente i_a d'armatura: coppia $\tau = k_i i_a$
 - amplificatore tensione–corrente: $i_a = k_{UPM} v_c$, con v_c tensione di controllo
- equazioni di Eulero-Lagrange (formulazione energetica) del braccio **meccanico**
- accoppiamento diretto motore–braccio 1 (**direct-drive**), senza riduttori del moto o trasmissioni
- fenomeni di attrito (viscoso, statico) ai giunti (connessioni elettriche striscianti) rilevanti, ma trascurati qui in fase di analisi

Equazioni di Eulero-Lagrange

1. scelta di coordinate generalizzate che descrivono la configurazione del robot



- $\theta = (\theta_1, \theta_2)$: posizioni angolari assolute dei bracci rispetto alla verticale
2. calcolo di energia cinetica $T = T(\theta, \dot{\theta})$ ed energia potenziale (gravitazionale) $U = U(\theta)$ dei corpi (bracci)

3. il Lagrangiano $L = T - U$ soddisfa le equazioni vettoriali

$$\frac{d}{dt} \left(\frac{\partial L}{\partial \dot{\theta}} \right)^T - \left(\frac{\partial L}{\partial \theta} \right)^T = u$$

dove $u = (u_1, u_2)$ sono le coppie non conservative (coppia fornita dal primo motore, attrito dissipativo sui due giunti)

in forma scalare

$$\frac{d}{dt} \frac{\partial L}{\partial \dot{\theta}_i} - \frac{\partial L}{\partial \theta_i} = u_i, \quad i = 1, 2$$

4. modello dinamico risultante

$$M(\theta)\ddot{\theta} + c(\theta, \dot{\theta}) + g(\theta) = u$$

con $M(\theta) =$ matrice di inerzia, $c(\theta, \dot{\theta}) =$ vettore di coppie dovute alle velocità centrifughe (e di Coriolis), $g(\theta) =$ vettore di coppie dovute alla gravità

Passaggi

- energia cinetica $T = T_1 + T_2$ dei due bracci

$$T_1 = \frac{1}{2} m_1 (d_1 \dot{\theta}_1)^2 + \frac{1}{2} I_1 \dot{\theta}_1^2$$

$$T_2 = \frac{1}{2} m_2 v_{c2}^T v_{c2} + \frac{1}{2} I_2 \dot{\theta}_2^2 = \dots$$

con

m_i = massa del braccio i

d_i = distanza del baricentro del braccio i dall'asse di rotazione

I_i = momento di inerzia del braccio i intorno al suo baricentro

$v_{c2} = \dot{p}_{c2}$ = velocità planare del baricentro del braccio 2

ℓ_1 = lunghezza del braccio 1

$$p_{c2} = \begin{bmatrix} \ell_1 c_1 + d_2 c_2 \\ \ell_1 s_1 + d_2 s_2 \end{bmatrix} \Rightarrow v_{c2} = \begin{bmatrix} -\ell_1 s_1 \dot{\theta}_1 - d_2 s_2 \dot{\theta}_2 \\ \ell_1 c_1 \dot{\theta}_1 + d_2 c_2 \dot{\theta}_2 \end{bmatrix}$$

con $c_i = \cos \theta_i$, $s_i = \sin \theta_i$ ($i = 1, 2$), da cui

$$T_2 = \dots = \frac{1}{2} m_2 \left[\ell_1 \dot{\theta}_1^2 + d_2 \dot{\theta}_2^2 + 2\ell_1 d_2 c_{2-1} \right] + \frac{1}{2} I_2 \dot{\theta}_2^2$$

con $c_{2-1} = \cos(\theta_2 - \theta_1)$

- energia potenziale $U = U_1 + U_2$ dei due bracci (a meno di una costante)

$$U_1 = -m_1 g_0 d_1 c_1$$

$$U_2 = -m_2 g_0 (\ell_1 c_1 + d_2 c_2)$$

con $g_0 = 9.81 \text{ m/sec}^2$. U_i è legata alla quota del baricentro del braccio i

- le coppie non conservative (a destra nelle equazioni di Eulero-Lagrange) sono

$$u = \begin{bmatrix} \tau \\ 0 \end{bmatrix} - \begin{bmatrix} F_{v1}\dot{\theta}_1 \\ F_{v2}(\dot{\theta}_2 - \dot{\theta}_1) \end{bmatrix} - \begin{bmatrix} F_{s1} \text{sign}(\dot{\theta}_1) \\ F_{s2} \text{sign}(\dot{\theta}_2 - \dot{\theta}_1) \end{bmatrix}$$

dove $\tau =$ coppia fornita dal motore alla base, $F_{vi} =$ coefficiente di attrito viscoso al giunto i , $F_{si} =$ coefficiente di attrito statico al giunto i ($i = 1, 2$)

Nota: da ora in poi, attriti trascurati per semplicità

- dal Lagrangiano $L = T - U$, eseguendo le derivazioni indicate nelle equazioni di Eulero-Lagrange, si ottengono 2 equazioni differenziali (non-lineari) del 2° ordine

$$\begin{aligned} (I_1 + m_1 d_1^2 + m_2 \ell_1^2) \ddot{\theta}_1 + m_2 \ell_1 d_2 c_{2-1} \ddot{\theta}_2 - m_2 \ell_1 d_2 s_{2-1} \dot{\theta}_2^2 \\ + g_0 (m_1 d_1 + m_2 \ell_1) s_1 = \tau \\ m_2 \ell_1 d_2 c_{2-1} \dot{\theta}_1 + (I_2 + m_2 d_2^2) \ddot{\theta}_2 + m_2 \ell_1 d_2 s_{2-1} \dot{\theta}_1^2 + g_0 m_2 d_2 = 0 \end{aligned}$$

- in forma compatta (matriciale) si ha

$$\begin{bmatrix} \alpha_1 & \alpha_3 c_{2-1} \\ \alpha_3 c_{2-1} & \alpha_2 \end{bmatrix} \begin{bmatrix} \ddot{\theta}_1 \\ \ddot{\theta}_2 \end{bmatrix} + \begin{bmatrix} -\alpha_3 s_{2-1} \dot{\theta}_2^2 \\ \alpha_3 s_{2-1} \dot{\theta}_1^2 \end{bmatrix} + \begin{bmatrix} \alpha_4 s_1 \\ \alpha_5 s_2 \end{bmatrix} = \begin{bmatrix} \tau \\ 0 \end{bmatrix}$$

$$M(\theta) > 0$$

$$c(\theta, \dot{\theta})$$

$$g(\theta)$$

avendo definito i coefficienti dinamici

$$\alpha_1 = I_1 + m_1 d_1^2 + m_2 \ell_1^2 > 0$$

$$\alpha_2 = I_2 + m_2 d_2^2 > 0$$

$$\alpha_3 = m_2 \ell_1 d_2 > 0 \quad (\iff d_2 > 0, \text{ qui supposto})$$

$$\alpha_4 = g_0(m_1 d_1 + m_2 \ell_1) > 0 \quad (\Leftarrow d_1 > 0)$$

$$\alpha_5 = g_0 m_2 d_2 > 0 \quad (\iff d_2 > 0)$$

Linearizzazione e analisi

- matrice di inerzia simmetrica e definita positiva ($T = \frac{1}{2} \dot{\theta}^T M(\theta) \dot{\theta} \geq 0$)

$$\alpha_1 > 0, \quad \alpha_2 > 0, \quad \det M(\theta) = \alpha_1 \alpha_2 - \alpha_3^2 c_{2-1}^2 > 0 \quad (\forall \theta)$$

- configurazioni di equilibrio θ_e del sistema meccanico: si pone $\dot{\theta} = \ddot{\theta} = 0$

$$g(\theta_e) = \begin{bmatrix} \tau_e \\ 0 \end{bmatrix}$$

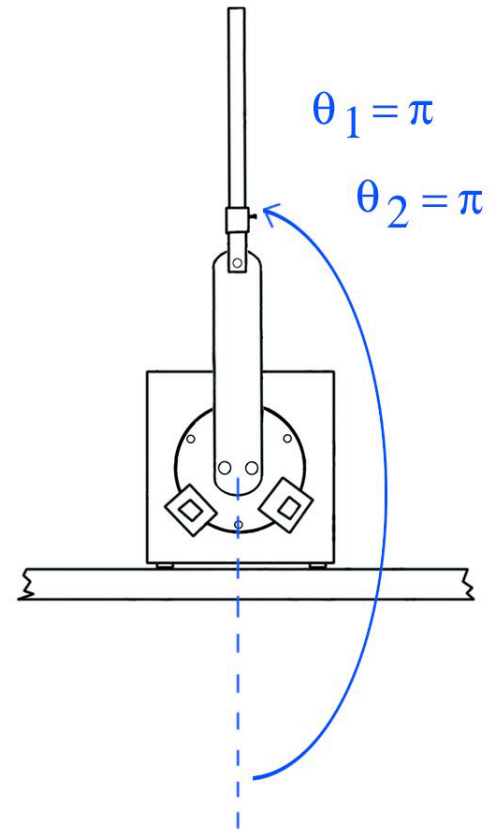
- equilibrio **libero** (con $\tau_e = 0$)

$$g(\theta_e) = 0 \quad \iff \quad \sin \theta_{1e} = \sin \theta_{2e} = 0 \quad (4 \text{ soluzioni})$$

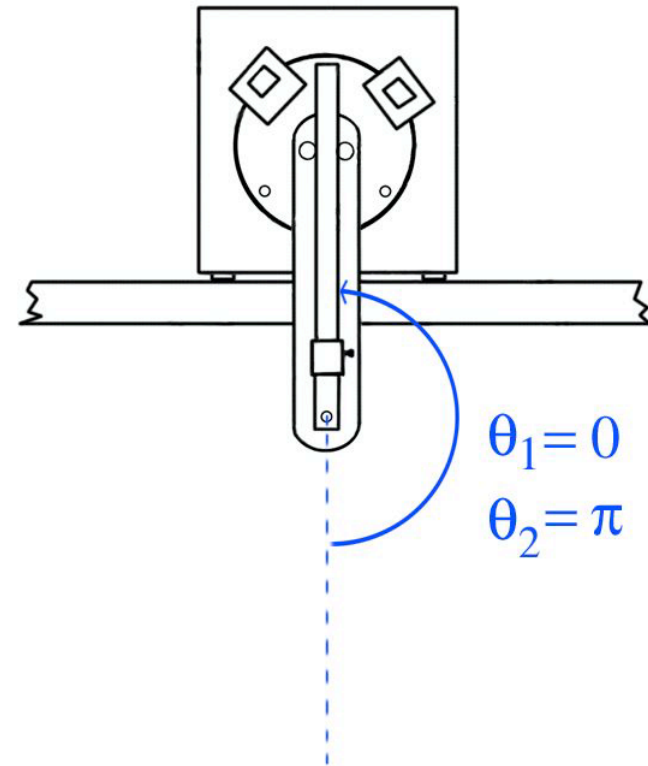
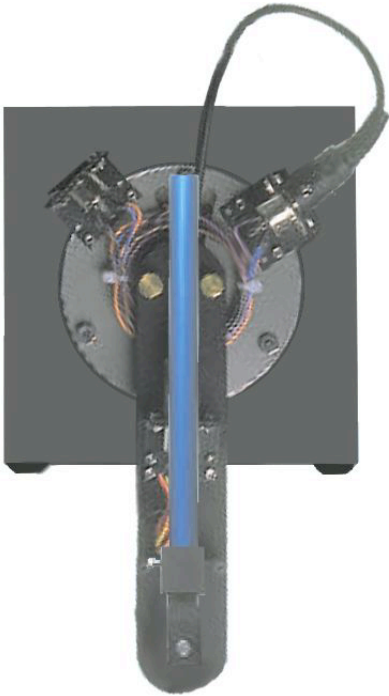
- equilibrio **forzato** (con $\tau_e \neq 0$)

$$\sin \theta_{1e} = \frac{\tau_e}{\alpha_4} \quad \sin \theta_{2e} = 0 \quad (\infty \text{ soluzioni})$$

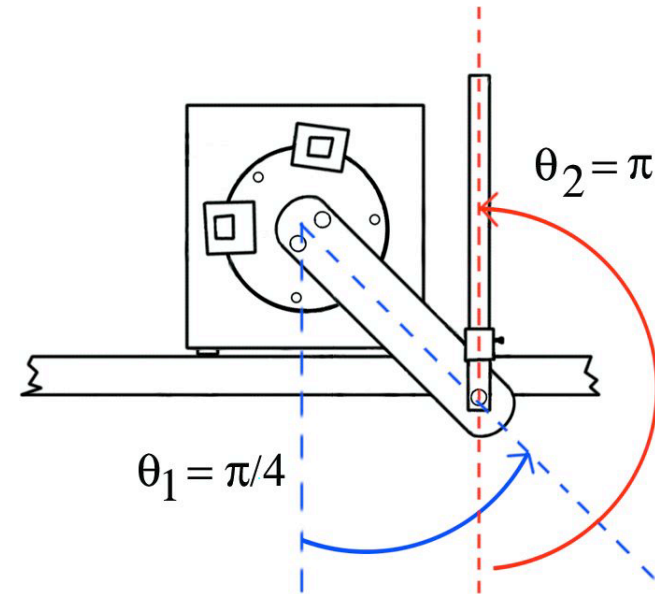
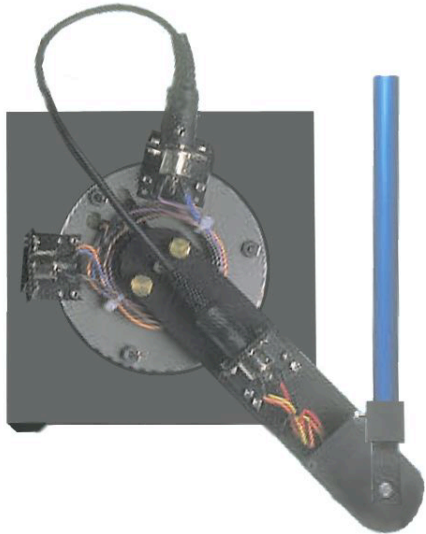
Configurazione di equilibrio libero: UP-UP



Configurazione di equilibrio libero: DOWN-UP



Configurazione di equilibrio forzato: 45°-UP



$$\tau_e = \frac{\sqrt{2}}{2} \cdot \alpha_4 \neq 0$$

Linearizzazione intorno ad un equilibrio

- si pone (con $\dot{\theta}_e = \ddot{\theta}_e = 0$ —sempre— e con $\tau_e = 0$ per equilibrio libero)

$$\theta = \theta_e + \delta\theta \quad \dot{\theta} = \dot{\theta}_e + \delta\dot{\theta} = \delta\dot{\theta} \quad \ddot{\theta} = \ddot{\theta}_e + \delta\ddot{\theta} = \delta\ddot{\theta} \quad \tau = \tau_e + \delta\tau$$

e si sviluppano in serie di Taylor nelle (piccole) variazioni $(\delta\theta, \delta\dot{\theta}, \delta\ddot{\theta}, \delta\tau)$ tutti i termini (nonlineari) del modello dinamico

- eliminando i termini con prodotti di variazioni (quindi di ordine infinitesimo superiore al primo), si ottiene

$$M(\theta_e)\delta\ddot{\theta} + G(\theta_e)\delta\theta = \begin{bmatrix} \delta\tau \\ 0 \end{bmatrix} \quad G(\theta_e) = \left. \frac{\partial g}{\partial \theta} \right|_{\theta=\theta_e}$$

con i termini centrifughi/di Coriolis mai presenti (**quadratici** nelle velocità!)

Equazioni di stato lineari intorno all'equilibrio UP-UP

- per $\theta_e = (\pi, \pi)$ (e quindi $\tau_e = 0$) si ha

$$\begin{bmatrix} \alpha_1 & \alpha_3 \\ \alpha_3 & \alpha_2 \end{bmatrix} \begin{bmatrix} \delta\ddot{\theta}_1 \\ \delta\ddot{\theta}_2 \end{bmatrix} + \begin{bmatrix} -\alpha_4 & 0 \\ 0 & -\alpha_5 \end{bmatrix} \begin{bmatrix} \delta\theta_1 \\ \delta\theta_2 \end{bmatrix} = \begin{bmatrix} \delta\tau \\ 0 \end{bmatrix}$$

$M(\theta_e)$

$G(\theta_e)$

- posto $\Delta = \det M(\theta_e) = \alpha_1\alpha_2 - \alpha_3^2 > 0$, una **conveniente** scelta delle (quattro) variabili di stato e della (singola) variabile di ingresso è

$$x = \begin{bmatrix} \delta\theta \\ \frac{1}{\Delta} M(\theta_e)\delta\dot{\theta} \end{bmatrix} \in \mathbb{R}^4 \quad u = \frac{1}{\Delta} \delta\tau \in \mathbb{R}$$

- le equazioni di stato sono della forma usuale

$$\dot{x} = Ax + Bu$$

con

$$A = \begin{bmatrix} 0_{2 \times 2} & M^{-1}(\theta_e) \cdot \Delta \\ -G(\theta_e)/\Delta & 0_{2 \times 2} \end{bmatrix} = \begin{bmatrix} 0 & 0 & \alpha_2 & -\alpha_3 \\ 0 & 0 & -\alpha_3 & \alpha_1 \\ \alpha_4/\Delta & 0 & 0 & 0 \\ 0 & \alpha_5/\Delta & 0 & 0 \end{bmatrix}$$

$$B = \begin{bmatrix} 0 \\ 0 \\ 1 \\ 0 \end{bmatrix}$$

Autovalori della matrice A

$$\begin{aligned}\det(\lambda I - A) &= \det \begin{bmatrix} \lambda & 0 & -\alpha_2 & \alpha_3 \\ 0 & \lambda & \alpha_3 & -\alpha_1 \\ -\alpha_4/\Delta & 0 & \lambda & 0 \\ 0 & -\alpha_5/\Delta & 0 & \lambda \end{bmatrix} \\ &= \lambda^4 - \frac{\alpha_1\alpha_5 + \alpha_2\alpha_4}{\Delta} \lambda^2 + \frac{\alpha_4\alpha_5}{\Delta} = 0\end{aligned}$$

- Posto $\mu = \lambda^2$, l'equazione caratteristica si può riscrivere

$$\Delta\mu^2 - (\alpha_1\alpha_5 + \alpha_2\alpha_4)\mu + \alpha_4\alpha_5 = 0$$

ed ha **due** cambi di segno nei coefficienti \Rightarrow 2 radici reali $\mu_1 > 0$, $\mu_2 > 0$
 \Rightarrow 2 coppie di autovalori reali opposti $\lambda_{1,2} = \pm\sqrt{\mu_1}$, $\lambda_{3,4} = \pm\sqrt{\mu_2}$

- Sistema **instabile** intorno all'equilibrio UP-UP (ad anello aperto)

Progetto del Controllore

- raggiungibilità della coppia (A, B)

$$\begin{aligned}\mathcal{R} &= [B \quad AB \quad A^2B \quad A^3B] \\ &= \begin{bmatrix} 0 & \alpha_2 & 0 & (\alpha_2^2\alpha^4 + \alpha_3^2\alpha_5)/\Delta \\ 0 & -\alpha_3 & 0 & -(\alpha_2\alpha^4 + \alpha_1\alpha_5)\alpha_3/\Delta \\ 1 & 0 & \alpha_2\alpha_4/\Delta & 0 \\ 0 & 0 & -\alpha_3\alpha_5/\Delta & 0 \end{bmatrix}\end{aligned}$$

- test di Kalman di raggiungibilità: rango $\mathcal{R} = 4 (= \dim x)$, infatti

$$\det \mathcal{R} = -\frac{(\alpha_3\alpha_5)^2}{\Delta} \neq 0 \quad !!$$

Stabilizzazione

- essendo il sistema raggiungibile, si procede per assegnazione degli autovalori della dinamica ad anello chiuso, scegliendo K nel feedback dallo stato

$$u = Kx = [k_1 \quad k_2 \quad k_3 \quad k_4] x \quad \Rightarrow \quad \dot{x} = (A + BK)x$$

in modo che lo spettro $\sigma(A+BK)$ sia dato da quattro autovalori desiderati $(\lambda_1, \lambda_2, \lambda_3, \lambda_4)$, tutti a parte reale negativa

- per imporre il polinomio caratteristico desiderato

$$p_{\text{des}}(\lambda) = \prod_{i=1}^4 (\lambda - \lambda_i) = \lambda^4 + a_{3d}\lambda^3 + a_{2d}\lambda^2 + a_{1d}\lambda + a_{0d}$$

si può procedere in più modi (tutti equivalenti, danno la stessa K finale!!):
analitico diretto, mediante la forma canonica di controllo, numerico

- analitico diretto sul polinomio caratteristico $\det [\lambda I - (A + BK)]$ (con le incognite $k_i, i = 1, \dots, 4$)

$$\det \begin{bmatrix} \lambda & 0 & -\alpha_2 & \alpha_3 \\ 0 & \lambda & \alpha_3 & -\alpha_1 \\ -\alpha_4/\Delta - k_1 & -k_2 & \lambda - k_3 & -k_4 \\ 0 & -\alpha_5/\Delta & 0 & \lambda \end{bmatrix} = p_{\text{des}}(\lambda)$$

- mediante trasformazione in forma canonica di controllo (**formula di Ackermann**)

$$\tilde{x} = Tx \Rightarrow \tilde{A} = TAT^{-1} = \begin{bmatrix} 0 & 1 & 0 & 0 \\ 0 & 0 & 1 & 0 \\ 0 & 0 & 0 & 1 \\ -a_0 & -a_1 & -a_2 & -a_3 \end{bmatrix}, \tilde{B} = TB = \begin{bmatrix} 0 \\ 0 \\ 0 \\ 1 \end{bmatrix}$$

con

$$p(\lambda) = \det(\lambda I - A) = \det(\lambda I - \tilde{A}) = \lambda^4 + a_3\lambda^3 + a_2\lambda^2 + a_1\lambda + a_0$$

con l'espressione del controllo

$$u = \tilde{K}\tilde{x} = [a_0 - a_{0d} \quad a_1 - a_{1d} \quad a_2 - a_{2d} \quad a_3 - a_{3d}] \tilde{x} = (\tilde{K}T)x = Kx$$

dove

$$T = \begin{bmatrix} \gamma^T \\ \gamma^T A \\ \gamma^T A^2 \\ \gamma^T A^3 \end{bmatrix} \quad \gamma^T = \text{ultima riga della matrice } \mathcal{R}^{-1}$$

- numerico (in Matlab) con i dati del problema

$$\begin{aligned}g_0 &= 9.81 \\l_1 &= 0.1492 & l_2 &= 0.1905 \\m_1 &= 0.193 & m_2 &= 0.073 \\d_1 &= 0.1032 & d_2 &= 0.1065 \\I_1 &= \frac{1}{12}m_1l_1^2 & I_2 &= \frac{1}{12}m_2l_2^2\end{aligned}$$

da cui si ha

$$\begin{aligned}\alpha_1 &= 0.0040 \\ \alpha_2 &= 0.0010 \\ \alpha_3 &= 0.0012 \\ \alpha_4 &= 0.3893 \\ \alpha_5 &= 0.0763\end{aligned}$$

con le matrici di stato e ingresso

$$A = \begin{bmatrix} 0 & 0 & 0.0010 & -0.0012 \\ 0 & 0 & -0.0012 & 0.0040 \\ 134719.9851 & 0 & 0 & 0 \\ 0 & 26390.8899 & 0 & 0 \end{bmatrix} \quad B = \begin{bmatrix} 0 \\ 0 \\ 1 \\ 0 \end{bmatrix}$$

con $\sigma(A) = (\pm 13.9729, \pm 7.2544)$

utilizzando le istruzioni Matlab

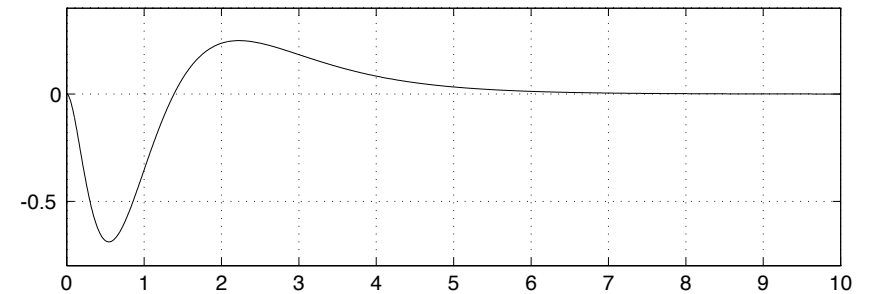
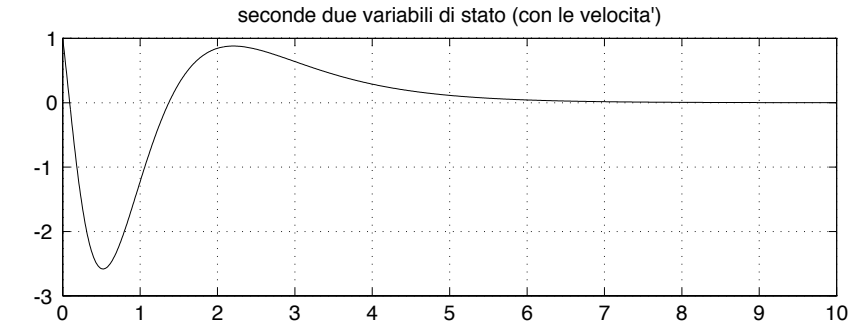
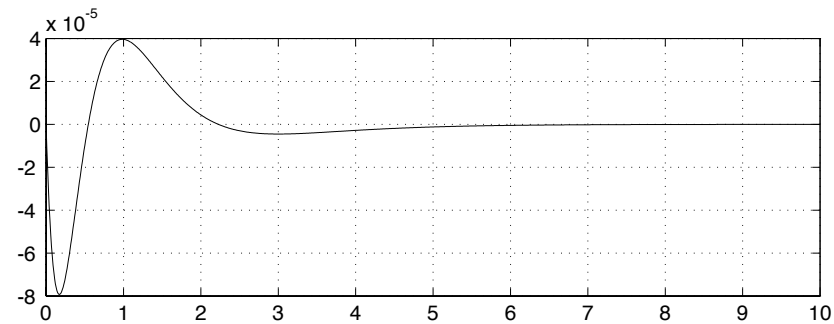
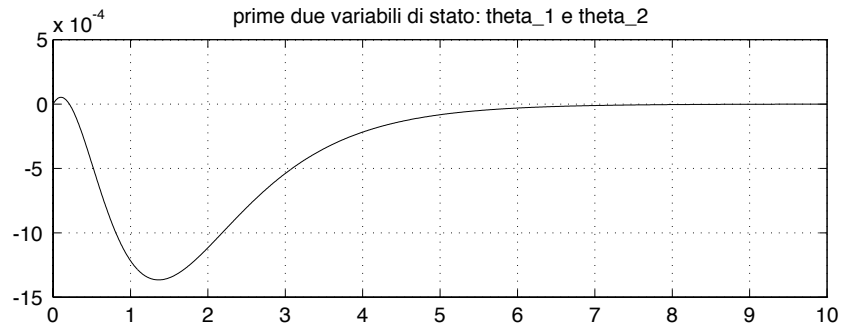
```
p = [-1 - 2 - 3 - 4];    (insieme degli autovalori desiderati)
K = -acker(A, B, p);
sigma = eig(A + B * K);
```

si ottiene

$$K = [-1.3441 \quad 1.2234 \quad -0.0001 \quad 0.0004]$$
$$\sigma(A + BK) = (-1.000, -1.999, -3.000, -4.000) \quad (\text{arrotondamenti})$$

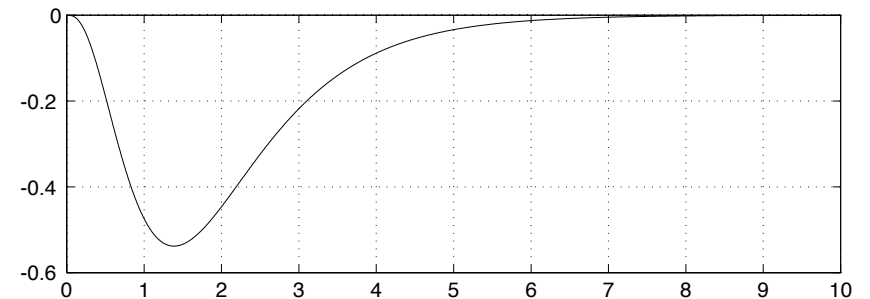
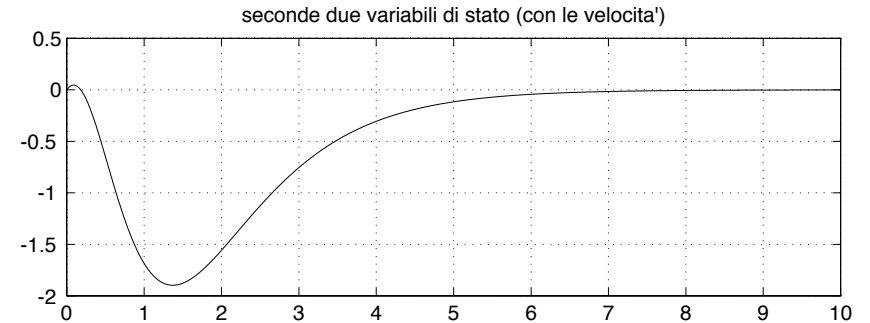
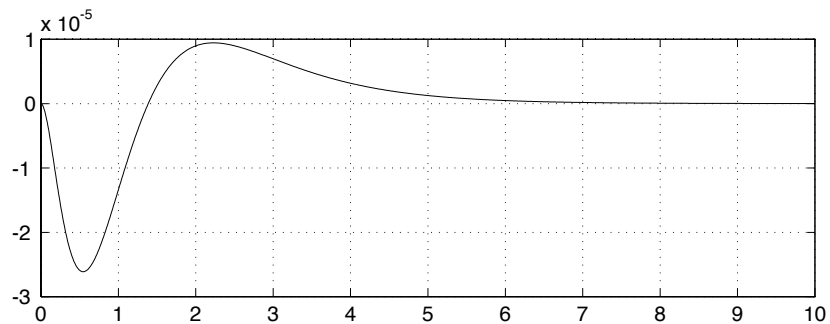
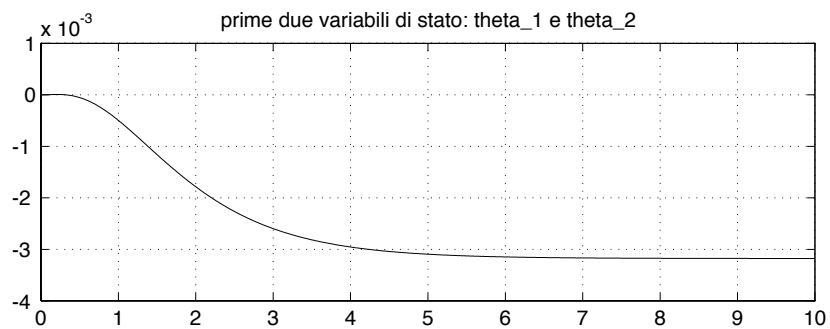
Simulazioni - 1

- a partire dall'equilibrio UP-UP (a riposo), si applica un impulso unitario (`impulse` di Matlab) come ingresso di disturbo



Simulazioni - 2

- a partire dall'equilibrio UP-UP (a riposo), si applica un gradino unitario (step di Matlab) come ingresso di disturbo



Commenti conclusivi - 1

- il problema di regolazione (ad es., UP-UP) è risolto con una tecnica ibrida:
 - inizialmente si porta il primo braccio in posizione, fornendo **energia** sufficiente in modo che il secondo sia messo in oscillazione ampia (**swing-up**)
 - quando entrambi i bracci sono all'interno di un **dominio di attrazione** per il controllore lineare, si commuta sulla stabilizzazione locale
 - per il Pendubot, il dominio è circa $[-15^\circ, +15^\circ]$ di errore in posizione (rispetto a θ_e) e di $[-4, +4]$ rad/s in velocità (rispetto a $\dot{\theta}_e = 0$); il dominio di attrazione dipende da θ_e e dalla matrice K dei guadagni del controllore
 - capacità di contrastare piccoli disturbi non persistenti (**reiezione dei disturbi**)

Commenti conclusivi - 2

- altri aspetti da considerare in pratica:
 - attrito ai giunti (quello viscoso è un fenomeno lineare, quello statico è una nonlinearietà 'hard')
 - inerzia del motore (si aggiunge I_m ad α_1)
 - indisponibilità della misura di velocità (differenziazione numerica filtrata delle misure degli encoder)
 - discretizzazione e quantizzazione delle grandezze
 - saturazione dell'attuatore (coppia di picco e di regime)
- validità limitata del modello linearizzato: le strategie di controllo (anche con feedback nonlineare dallo stato) vanno validate con una simulazione dell'intera dinamica del sistema